深層学習を用いた北半球夏季季節内振動と 北西太平洋高気圧の予測と要因分析

前田優樹 (東京大学大気海洋研究所 佐藤研究室)

1. はじめに

北半球夏季季節内振動 (Boreal Summer Intraseasonal Oscillation; BSISO) は夏季に卓越する最も顕著な季節内振動の一つであり、冬季に卓越するマッデン・ジュリアン振動 (Madden-Julian Oscillation; MJO) と比較して、より複雑な構造をもって北インド洋から西太平洋へと北東進する。この対流変動に伴って、BSISO は回帰線内外の様々な現象に幅広い時間スケールで影響を与えるため、予測起源の解明はアジア夏季モンスーンシステムを理解する上で重要である。しかし、既存の数値モデルでは、その予測スキルと潜在的な予測可能性との間に大きな差がある。また、BSISO の変動が北西太平洋高気圧 (Western North Pacific Subtropical High; WNPSH)などの中緯度の循環場へ影響を与えることが示唆されているが、そのプロセスや予測可能性についての議論はなされていない。

本研究では,深層学習の 1 つである畳み込みニューラルネットワーク(Convolutional Neural Network; CNN)を用いて,1 ヶ月先までの BSISO 予測を行い,どのような要因が予測可能性の向上に寄与するかを解析した。さらに,BSISO の予測モデルを WNPSH の予測へ拡張し,BSISO が WNPSH の予測に与える影響を調べた。

2. CNN モデルによる BSISO の予測と要因

2.1 手法

まず、BSISO の予測可能性を調べるために、CNN モデルを用いたリアルタイム予測のフレームワークを提案した。教師データには、bimodal ISO indexのreal-time monitoring method (Kikuchi et al., 2012)を採用した。これにはまず、25-90日のバンドパスフィルタを適用したOLR偏差(NOAA

の衛星観測データ)に対して、JJA 期間で Extended EOF (EEOF) 解析をすることで BSISO モード(EEOFs)を得た。 BSISO の位相空間を構成する、主成分得点 PC1、2 は、 EEOFs に対して先行する時間の情報を含まない OLR 偏差場(気候値、季節サイクル、前120日間平均を引き、前5日間平均を適用した場)を射影することで得た。

予測フレームワークは図1のように構築した。入力データ (a)には、上述の OLR に加えて、再解析データ(ERA5)として、850hPa、200hPa の東西風(U850、U200)、850hPa ジオポテンシャル高度(H850)、可降水量(PW)、海面水温(SST) の6変数を用いた。各変数は PC1、2を得たときと同様の前処理を適用したのちに標準化した。CNN モデル(図 1b)は、3 層の畳み込み層、および1層の全結合層で構成し、2 つのユニットを出力するように設計した。これら出力をリードタイム τ 日後 (τ = 0、1、…、30)の PC1、2 に近づくように学習を行った。最適化には Adam を使用し、平均二乗誤差を損失関数とした。各層には活性化関数 ReLU、ドロップアウト、バッチ正規化を適用した。モデルはリードタイムごとに独立に作成し、それぞれ 10 メンバーのアンサンブル平均で予測値とした(図 1c)。学習は 1979-2015 年、検証には 2016-2022 年のデータを使用した。

2.2 モデルパフォーマンス

図2(a)に示すように、CNN モデルの予測スキルは、JJA、8 月期間ともに現業数値モデルおよび全球非静力学モデル(NICAM)を上回り、COR = 0.6 となるスキルは約29日に達した。CNN モデルの予測スキルに関する初期 phase 依存性を調べた(図2b-d)。初期 phase が2-5では2週間以降の予測で相対的にスキルが高い一方、初期 phase6-8ではスキルが低かった。

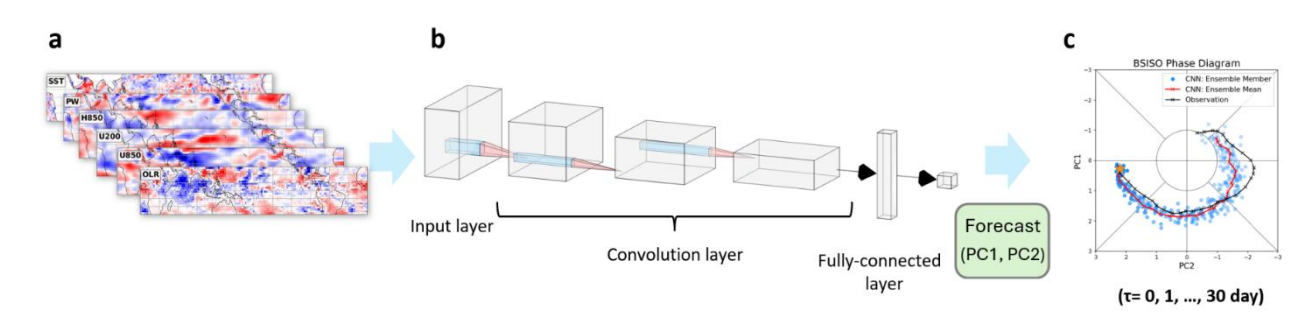


図1: BSISO をリアルタイム予測する CNN モデルの概要。(a)入力データは 6 変数 (OLR, U850, U200, H850, PW, SST) とする。 (b) CNN アーキテクチャ。(c)位相空間上における CNN モデル予測の事例。

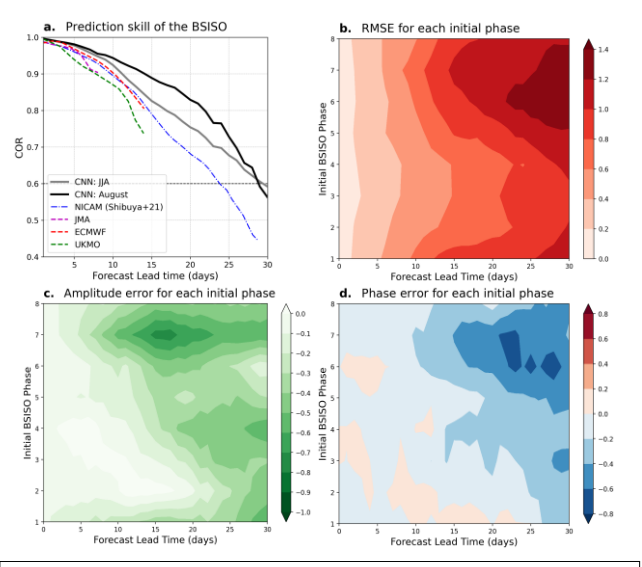


図2: CNNモデルのパフォーマンス。(a) BSISO のスキル。BSISO の初期 phase ごとの, (b) 二乗平均平方根誤差, (c) 振幅のエラー, および(d) phase のエラー。

2.3 XAIによる予測起源の解析

CNN モデルの予測根拠を定量化するために、XAI の 手法に、Shapley Additive Explanations (SHAP: Lundberg and Lee, 2017) を採用した。本手法は、入力 \mathbf{x} 、出力 $y=f(\mathbf{x})$ について、モデルの予測値 (PC1, PC2)を入力データの全グリッド i にわたってそれぞれの寄与度 ϕ_i に加法的に分解するアルゴリズムである:

$$f(\mathbf{x}) = \phi_0 + \sum_{i=1}^{M} \phi_i$$

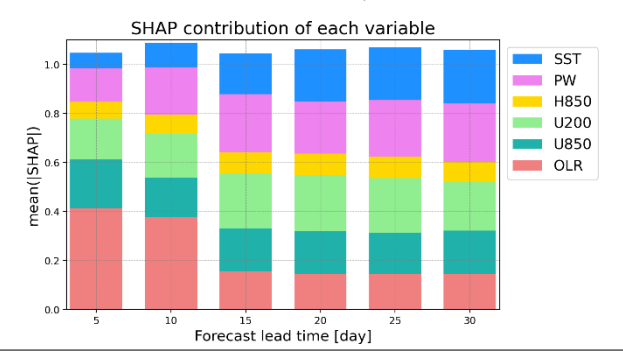


図 3: SHAP による入力変数の寄与度のリードタイム依存性

この解析を、検証データの JJA 期間に適用した。図3の予測起源の要約より、15日以降の予測では、PW、SST、U200が第一に、U850、OLRが第二に支配的に寄与を示した。寄与度の初期 phase 依存性を調べると、SST は初期 phase2-4の北インド洋の暖水域で支配的であり(図4)、BSISO の北進の駆動源を示唆した。一方で、PW は初期 phase5-6の海洋大陸上で顕著に支配的であるものの、北インド洋での帯状偏差に対してはほとんど寄与せず、対流の東進への寄与を示唆する結果となった。

3. WNPSH への予測の拡張と BSISO との関係

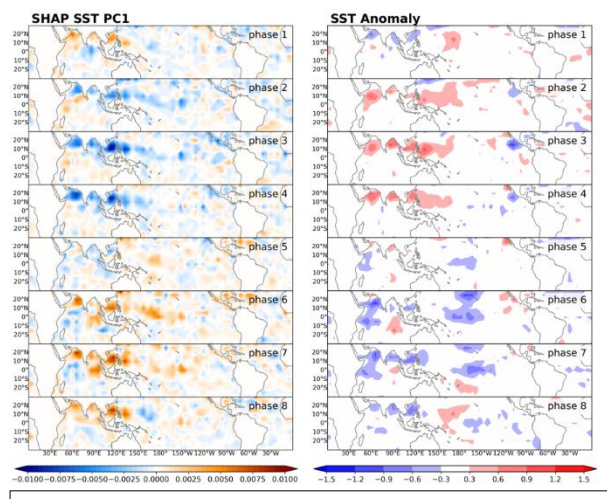


図 4: SHAP による SST の寄与度の初期 phase 依存性。 PC1 の寄与(左)および入力変数の偏差(右)。

次に、BSISOとWNPSHを包括的に予測するマルチタスクモデルを構築した。学習データ量を増やすために、大規模アンサンブル大気モデル(d4PDF)による1000年のデータで事前学習したのちに、再解析データ(ERA5)でファインチューニングする転移学習を適用した。その結果、WNPSHの予測スキルは約7日程度とbimodal ISO indexの予測と比べて短いものの、再解析データのみの学習に比べて精度が改善した。マルチタスク学習の結果から、高気圧性循環が西太平洋で卓越するBSISOの初期phase2-3では、WNPSHの予測スキルが比較的持続することがわかった。これにより、BSISOがWNPSHの予測可能性を決定する一因となることが示唆された。

4. まとめと今後の展望

本研究では、深層学習を用いて BSISO と WNPSH の 予測と要因分析を行った。CNN モデルによる BSISO の 予測は現業モデルを上回る精度を示した。スキルには 初期 phase の依存性が見られたが、この差異が生まれる 原因を XAI 手法によって解析したところ、北インド洋 での SST 正偏差が BSISO の北進を、海洋大陸での PW が BSISO の東進を駆動させる要因となり、それが予測 スキルの底上げを示唆する結果となった。次に、上述の タスクに、d4PDF の大規模データを利用したマルチタ スクモデルへ拡張し、季節内スケールの BSISO と WNPSH の予測を行った。予測スキルは 7 日程度と短 いものの、BSISO が WNPSH の予測可能性に影響を与 えることを示唆した。WNPSH の変動には BSISO のみ ならず熱帯, 中緯度の双方から多数の要因が幅広い時 間スケールで関与するため、これらを考慮したモデル への改良と予測可能性の分析が今後の課題である。

参考文献

- [1] Kikuchi, et al., 2012. Clim. Dyn. 38 (9-10), pp. 1989–2000.
- [2] Lundberg and Lee, 2017. arXiv:1705.07874[cs.AI]